

01;10

## Об уравнениях огибающих электронного пучка в магнитном поле

© Н.Д. Наумов

Центральный физико-технический институт,  
141300 Сергиев Посад, Россия

(Поступило в Редакцию 14 ноября 1996 г.)

На основе автомодельного подхода получены уравнения огибающих трубчатого пучка, распространяющегося вдоль магнитного поля, а также электронного пучка, инжектированного под углом к магнитному полю. Построено точное решение самосогласованной задачи о поперечных колебаниях холодного трубчатого пучка в магнитном поле и проведено сравнение с приближенными результатами метода уравнения огибающих.

### Введение

Определенный прогресс в описании динамики пучков заряженных частиц связан с использованием уравнения огибающей, что позволило построить ряд аналитических самосогласованных моделей распространения пучков [1–4]. Возможность перехода от уравнений в частных производных к обыкновенным дифференциальным уравнениям обусловлена существованием автомодельных решений уравнений движения газа заряженных частиц [5]. Для криволинейных пучков приближенные решения автомодельного типа могут быть построены в случае малости отношения поперечных размеров пучка к его радиусу [6]. Однако при этом открытым остается вопрос об адекватности подобного приближенного решения нелинейной задачи.

В данной работе рассмотрены поперечные колебания холодного трубчатого пучка электронов в магнитном поле. Как оказывается, для тонкого трубчатого пучка с помощью метода уравнения огибающей можно построить приближенное решение автомодельного типа, а с помощью метода функции Грина — точное решение нестационарной самосогласованной задачи. Сравнение этих двух решений представляет несомненный методический интерес.

В работе также получены уравнения огибающих тонкого спирального пучка в магнитном поле. Эта модель имеет практическое значение в связи с использованием электронных пучков для изучения ионосферы. Инжекция электронного пучка в ионосферную плазму под углом к геомагнитному полю рассматривалась в работе [7], однако полученные так результаты, как указывают сами авторы, неприменимы в случае инжекции с питч-углами, близкими к  $90^\circ$ . Предлагаемая модель позволяет заполнить этот пробел на интервал времени, в течение которого отношение поперечных размеров пучка к радиуса его кривизны остается малой величиной.

### Трубчатый пучок

Поведение осесимметричного холодного потока нерелятивистских электронов, распространяющихся вдоль магнитного поля, описывается самосогласованной систе-

мой уравнений движения газа заряженных частиц

$$\frac{d}{dt}V_r - \frac{V_\theta^2}{r} = -\omega_c V_\theta + \frac{4\pi e^2}{mr} \int_0^r n(x) x dx, \quad (1)$$

$$\frac{d}{dt}V_\theta + \frac{V_r V_\theta}{r} = \omega_c V_r, \quad \frac{\partial n}{\partial t} + \frac{\partial n V_r}{\partial r} = 0, \quad (2)$$

где  $\omega_c = e_0 B_0 / mc$  — циклотронная частота,  $e = -e_0$  — заряд электрона,  $d/dt = \partial/\partial t + V_r \partial/\partial r$ .

Нетрудно видеть, что стационарное решение уравнения для азимутальной скорости имеет вид  $V_\theta = \omega_L (r + C^2/r)$ , где  $\omega_L = \omega_c/2$  — ларморовская частота. Постоянная  $C$  определяется из условия, что находящиеся на расстоянии  $r = C$  от оси пучка частицы вращаются с циклотронной частотой. Этот результат является следствием сохранения для осесимметричного пучка азимутальной составляющей обобщенного импульса частицы  $P_\theta = r(p_\theta + mr\omega_L) = m\omega_L C^2$ .

Для радиального уравнения можно построить приближенное нестационарное решение. Как было показано ранее [6], такое решение может быть получено в случае малости отношения поперечного размера пучка к его радиусу, когда можно разложить фигурирующие в уравнении (1) члены с азимутальной скоростью, удерживая лишь члены первого порядка относительно величины  $d/r_1$ , где  $r_1$  — внутренний радиус пучка,  $d$  — толщина пучка. Практически линейного характера изменения собственного электрического поля пучка можно добиться выбором соответствующего профиля его плотности

$$n(x, t) = \frac{I}{2\pi e_0 u r d} H(\xi - \xi^2), \quad (3)$$

где  $I$ ,  $u$  — соответственно ток и продольная скорость пучка;  $H(x)$  — ступенчатая функция Хевисайда;  $\xi = (r - r_1)/d$  — автомодельная переменная.

Для рассматриваемого класса неустановившихся движений скорость электронного газа линейно зависит от автомодельной переменной, поэтому радиальная скорость пучка имеет следующий вид:  $V_r = \dot{r}_1 + \xi \dot{d}$ . В этом случае плотность частиц (3) удовлетворяет уравнению непрерывности (2). Подстановка этого выражения в линеаризованное уравнение для радиальной скорости (1)

позволяет получить уравнения для внутреннего радиуса пучка и его толщины

$$\ddot{r}_1 + \omega_L^2 \left( r_1 - \frac{C^4}{r_1^3} \right) = 0, \quad \ddot{d} + \omega_L^2 \left( 1 + 3 \frac{C^4}{r_1^4} \right) d = d_0 \omega_p^2, \quad (4)$$

где  $\omega_p = \sqrt{4\pi n_0 e^2 / m}$  — плазменная частота пучка,  $n_0 = I / 2\pi i e_0 r_{10} d_0$ .

Следует отметить, что коллективное поле на внутренней поверхности пучка равно нулю. Поэтому уравнение для колебаний внутреннего радиуса пучка в отличие от уравнения для толщины пучка является точным.

Нетрудно видеть, что для холодного пучка внутренний радиус не зависит от времени, если в начальный момент времени частицы на внутренней поверхности пучка вращаются с циклотронной частотой, т.е. когда  $C = r_{10}$ . В этом случае, как следует из (3), толщина и внешний радиус тонкого пучка периодически изменяются со временем

$$r_2 = r_{10} + d, \quad d = d_0 [g + (1 - g) \cos \omega_c t], \quad (5)$$

где  $g = \omega_p^2 / \omega_c^2$ .

Очевидно, что при  $d = 1$  реализуется стационарное состояние пучка.

## Метод функции Грина

Для поперечного движения осесимметричного холодного пучка в магнитном поле можно получить точное решение самосогласованной задачи. Хотя рассматриваемая задача по существу является гидродинамической, для ее решения удобно исходить из функции распределения электронного газа

$$F(\chi, P_\theta, p_z, t) = f(\chi, t) \delta(P_\theta - m\omega_L C^2) \delta(p_z - mu),$$

где через  $\chi$  для кратности обозначена совокупность переменных  $r, p_r$ .

Решение уравнения Власова для радиальной функции  $f(\chi, t)$

$$L f(\chi, t) = 0, \quad L = \frac{\partial}{\partial t} + \frac{p_r}{m} \frac{\partial}{\partial r} + \left[ eE + m\omega_L^2 \left( \frac{C^4}{r^3} - r \right) \right] \frac{\partial}{\partial p_r}$$

может быть представлено с помощью функции Грина оператора  $L$

$$H(t) f(\chi, t) = \int G(\chi, \chi_0; t) f(\chi_0, 0) d\chi_0,$$

$$L G(\chi, \chi_0; t) = \delta(t) \delta(\chi - \chi_0).$$

Здесь  $f(\chi, 0)$  — начальная функция распределения пучка, которая в данном случае имеет вид  $f(\chi, 0) = n_0 r \nu(r) \delta(p_r)$ , где  $n_0 \nu(r) = n(r, 0)$  — начальное распределение плотности частиц.

Функция Грина определяется законом радиального движения одиночной частицы  $r(t; \chi_0)$ ,  $p_r(t; \chi_0)$  в совокупности внешнего и коллективного полей при  $P_\theta = m\omega_L C^2$

$$G(\chi, \chi_0; t) = H(t) \delta(r - r(t; \chi_0)) \delta(p_r - p_r(t; \chi_0)).$$

Закон движения электрона удовлетворяет следующим условиям  $r(0; \chi_0) = r_0$ ,  $p_r(0; \chi_0) = p_{r0}$ .

Основная трудность при реализации этого метода решения самосогласованной задачи связана с учетом влияния на движение частицы собственного поля пучка, которое заранее неизвестно и изменяется при распространении пучка. Эта проблема упрощается, если слои частиц перемещаются в радиальном направлении друг за другом, без обгонов. Тогда величина коллективного поля, действующего на частицу, не зависит от времени и определяется как начальным значением ее радиального положения  $r_0$ , так и заданным начальным распределением плотности частиц

$$E_r(r(t; \chi_0), t) = 4\pi e n_0 \frac{Q(r_0)}{r}, \quad Q(r_0) = \int_{r_{10}}^{r_0} \nu(x) x dx. \quad (6)$$

В итоге для функции  $f(\chi, t)$  найдем

$$f(\chi, t) = n_0 \int dr_0 r_0 \nu(r_0) \delta(r - s(t, r_0)) \delta(p_r - m\dot{s}(t, r_0)),$$

где  $s(t, r_0)$  — решение уравнения

$$\ddot{s} = \omega_L^2 \left( \frac{C^4}{s^3} - s \right) + Q(r_0) \frac{\omega_p^2}{s} \quad (7)$$

с начальными условиями  $s(0, r_0) = r_0$ ,  $\dot{s}(0, r_0) = 0$ . Для гидродинамических характеристик потока получим

$$n(r, t) = \int F(\chi, P_\theta, p_z, t) d^3 p = n_0 \frac{\rho(r, t) \nu(\rho(r, t))}{r |S(r, t)|}, \quad (8)$$

$$V_r(r, t) = \frac{1}{mn} \int p_r F(\chi, P_\theta, p_z, t) d^3 p = U(r, t). \quad (9)$$

Здесь  $\rho(r, t)$  — решение трансцендентного уравнения  $s(t, r_0) = r$ , т.е.  $s(t, \rho(r, t)) \equiv r$ , а также введены следующие обозначения:  $S(r, t) = R(t, \rho(r, t))$ ,  $R(t, r_0) = \partial s / \partial r_0$ ,  $U(r, t) = \dot{s}(t, \rho(r, t))$ . Для расчетов гидродинамических характеристик потока можно воспользоваться более простым способом. Как следует из выражений (8), (9), в момент времени  $t$  плотность частиц и радиальная скорость пучка в точке  $r = s(t, r_0)$  равны

$$n(s, t) = n_0 \frac{r_0 \nu(r_0)}{s(t, r_0) |R|}, \quad V_r(s, t) = \dot{s}(t, r_0). \quad (10)$$

Уравнение для функции  $R$  найдем, дифференцируя (7) по  $r_0$ ,

$$\ddot{R} = \nu(r_0) \omega_p^2 \frac{r_0}{s} - \left[ \omega_L^2 \left( 1 + 3 \frac{C^4}{s^4} \right) + Q(r_0) \frac{\omega_p^2}{s^2} \right] R.$$

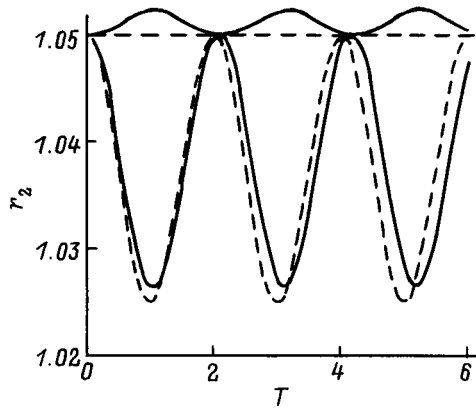


Рис. 1. Колебания внешнего радиуса пучка.

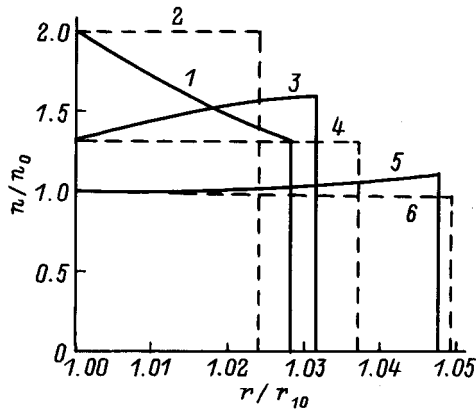


Рис. 2. Изменение плотности частиц.

Очевидно, что начальные условия для  $R$  имеют вид  $R_0 = 1, \dot{R}_0 = 0$ .

Таким образом, расчет гидродинамических характеристик осесимметричного холодного потока заряженных частиц в магнитном поле сводится к решению двух обыкновенных дифференциальных уравнений. Очевидно, что для сплошного пучка нижний предел интегрирования в выражении (6) следует положить равным нулю. Для трубчатого пучка при последовательном изменении  $r_0$  с небольшим шагом от  $r_{10}$  до  $r_{20}$  выражения (10) позволяют получить характеристики пучка для заданного момента времени  $t$ . Отметим, что при  $s_0 = r_{10}$  уравнение (7), которое в этом случае переходит в первое из уравнений (4), определяет колебания внутреннего радиуса пучка. В случае  $s_0 = r_{20}$  уравнение (7) описывает изменение со временем внешнего радиуса пучка; при выборе начальной плотности частиц в виде (3), т. е. когда  $\nu = r_{10}/r$ , получим

$$\dot{r}_2 = \omega_L^2 \left( \frac{C^4}{r_2^3} - r_2 \right) + d_0 \omega_p^2 \frac{r_{10}}{r_2}. \quad (11)$$

На рис. 1 представлены результаты расчетов внешнего радиуса пучка для начальных условий  $C = r_{10}, r_{20} = 1.05r_{10}$  при  $g = 1$  и  $0.75$ . Сплошные линии

соответствуют решению уравнения (11), штриховые — аналогичным данным автомодельного приближения (5); переменная  $T = \omega_c t$ . Можно констатировать, что уравнения огибающих дают приемлемое описание динамики поперечных размеров пучка по крайней мере на начальном этапе движения. На рис. 2 приведено сравнение точного и приближенного решений для плотности частиц при  $g = 0.75$  в моменты времени  $t = 5\pi/\omega_c$  (кривые 1, 2),  $t = 5.5\pi/\omega_c$  (кривые 3, 4) и  $t = 6\pi/\omega_c$  (кривые 5, 6). Для плотности частиц приближенные и точные результаты отличаются в большей степени.

## Спиральный пучок

Будем считать, что ось пучка совпадает с траекторией одиночного электрона в магнитном поле, т. е. представляя ее собой винтовую линию

$$\mathbf{Y}(\sigma) = \frac{1}{k} \sin \alpha \cos k\sigma \mathbf{e}_x + \frac{1}{k} \sin \alpha \sin k\sigma \mathbf{e}_y + \sigma \cos \alpha \mathbf{e}_z,$$

где  $k = \omega_c/u$ ,  $u$  — скорость частицы,  $\sigma$  — длина пути,  $\alpha$  — угол между векторами магнитного поля и начальной скорости электрона.

Поперечную динамику пучка удобно рассматривать относительно системы криволинейных координат  $\rho, \sigma, \zeta$

$$\mathbf{x} = \mathbf{Y}(\sigma) + \rho \mathbf{e}_r + \zeta \mathbf{b},$$

где  $\mathbf{b} = [\mathbf{tn}]$ ;  $\mathbf{t}, \mathbf{n}, \mathbf{b}$  — векторы трехгранника Френе, связанного с кривой  $\mathbf{Y}(\sigma)$ .

Для винтовой линии направление вектора нормали противоположно радиальному орту  $\mathbf{n} = -\mathbf{e}_r$ . В этой системе координат внешнее поле имеет вид  $\mathbf{B}_0 = B_0(\mathbf{b} \sin \alpha + \mathbf{t} \cos \alpha)$ .

Пусть отношение поперечных размеров пучка к радиусу его кривизны  $r_c = 1/k \sin \alpha$ , а также к радиусу кручения  $r_t = 1/k \cos \alpha$  является малой величиной. С точностью до членов первого порядка малости продольная скорость пучка постоянна, поэтому, полагая  $\mathbf{V} = ut + \Gamma \mathbf{e}_r + \Lambda \mathbf{b}$  и пренебрегая членами второго порядка, из уравнения Эйлера для заряженного газа найдем следующие уравнения для функций  $\Gamma, \Lambda$ :

$$M\Gamma + f\rho = F_\rho, \quad M\Lambda = F_\zeta,$$

$$M = \frac{\partial}{\partial t} + u \frac{\partial}{\partial \sigma} + (\Gamma - w\zeta) \frac{\partial}{\partial \rho} + (\Lambda + w\rho) \frac{\partial}{\partial \zeta}, \quad (12)$$

где  $f = u^2/r_c^2$ ,  $w = u/r_t$ ;  $F_\rho, F_\zeta$  — члены, обусловленные собственным полем и эмиттансом пучка.

Выражения для этих членов в случае пучка эллиптического сечения наиболее просто выглядят в системе координат  $q_1, q_2$ , связанной с осями симметрии сечения пучка [8],

$$F_1 = \frac{hq_1}{a(a+b)} + \frac{Hq_1}{a^4}, \quad F_2 = \frac{hq_2}{b(a+b)} + \frac{Hq_2}{b^4}.$$

Здесь  $h = 4Ic^2/I_A\gamma^2$ ,  $I$  — ток пучка,  $I_A = \gamma umc^2/e_0$  — ток Альфвена;  $a, b$  — полуоси сечения пучка;  $H = u\varepsilon$ , где  $\varepsilon$  — эмиттанс пучка. Собственное поле пучка аппроксимируется электромагнитным полем прямолинейного пучка эллиптического сечения, поскольку поправки, обусловленные кривизной пучка, будут, как и в случае кольцевого пучка [9], членами второго порядка малости.

Так как ориентация сечения пучка изменяется с течением времени, то оси системы координат  $q_1, q_2$  будут повернуты относительно ортов  $\mathbf{e}_r, \mathbf{b}$  на некоторый угол  $\psi$

$$q_1 = \rho \cos \psi + \zeta \sin \psi, \quad q_2 = \zeta \cos \psi - \rho \sin \psi.$$

Соответственно  $\Gamma, \Lambda$  следует представить через компоненты скорости газа  $V_i$  в новой системе координат

$$\Gamma = V_1 \cos \psi - V_2 \sin \psi - \zeta \Omega, \quad \Lambda = V_2 \cos \psi + V_1 \sin \psi + \rho \Omega,$$

где  $\Omega = \dot{\psi}$  — угловая скорость вращения пучка относительно трехгранника Френе.

Если вместо  $\sigma$  ввести переменную  $\tau = \sigma - ut$ , то производная по  $\tau$  в уравнениях (12) исчезает. В связи с этим зависимость характеристик пучка от  $\tau$  носит параметрический характер и определяется начальными условиями при инъекции рассматриваемого сечения пучка. В результате из уравнений (12) для функций  $V_i$  получим следующие уравнения:

$$NV_1 - 2\Omega V_2 - q_2 \dot{\Omega} - \lambda q_1 + f(q_1 \cos^2 \psi - \frac{q_2}{2} \sin 2\psi) = F_1, \quad (13)$$

$$NV_2 + 2\Omega V_1 - q_1 \dot{\Omega} - \lambda q_2 + f(q_2 \sin^2 \psi - \frac{q_1}{2} \sin 2\psi) = F_2, \quad (14)$$

где

$$N = \frac{\partial}{\partial t} + V_i \frac{\partial}{\partial q_i} + w \left( q_1 \frac{\partial}{\partial q_2} - q_2 \frac{\partial}{\partial q_1} \right), \quad \lambda = \Omega(w + \Omega).$$

Поперечное движение газа в новой системе координат может также включать перемещения с эллиптическими линиями тока, поэтому следует исходить из следующих выражений для  $V_i$  через автомодельные переменные  $\xi = q_1/a, \eta = q_2/b$ :

$$V_1 = a\dot{\xi} - \omega a\eta, \quad V_2 = b\dot{\eta} + \omega b\xi, \quad (15)$$

где  $\omega$  — некоторая функция времени.

Удовлетворяющая уравнению непрерывности плотность частиц имеет вид

$$n(\mathbf{x}, t) = \frac{I}{\pi a b u e_0 D} H(1 - \xi^2 - \eta^2),$$

где  $D = 1 + k\rho \cos \alpha$ .

Подставляя выражения (15) в уравнения (13), (14), в итоге получим систему обыкновенных дифференциальных уравнений для введенных функций времени  $a, b, \omega, \Omega$

$$\ddot{a} = 2\omega\Omega b + (\mu + w\omega \frac{a}{b} - f \cos^2 \psi)a + \frac{h}{a+b} + \frac{H}{a^3}, \quad (16)$$

$$\ddot{b} = 2\omega\Omega a + (\mu + w\omega \frac{b}{a} - f \sin^2 \psi)b + \frac{h}{a+b} + \frac{H}{b^3}, \quad (17)$$

$$\dot{\Omega} + 2\Omega \frac{\dot{b}}{b} + \dot{\omega} \frac{a}{b} + 2\omega \frac{\dot{a}}{b} + w \frac{\dot{a}}{a} + \frac{f}{2} \sin 2\psi = 0, \quad (18)$$

$$\dot{\Omega} + 2\Omega \frac{\dot{a}}{a} + \dot{\omega} \frac{b}{a} + 2\omega \frac{\dot{b}}{a} + w \frac{\dot{b}}{b} - \frac{f}{2} \sin 2\psi = 0, \quad (19)$$

где  $\mu = \lambda + \omega^2$ .

Складывая (18), (19) и интегрируя получающееся уравнение, для функции  $\Omega$  найдем

$$\Omega = \frac{1}{2ab} \left[ 2a_0 b_0 \left( \Omega_0 + \frac{w}{2} \right) + \omega_0 (a_0^2 + b_0^2) - \omega (a^2 + b^2) \right] - \frac{w}{2}. \quad (20)$$

Эта связь между угловой скоростью вращения пучка относительно трехгранника Френе и угловой скоростью внутреннего движения газа может быть также получена из условия сохранения продольной составляющей вектора  $(\mathbf{W} + e\mathbf{B}_0/mc)/n$ , где  $\mathbf{W} = \text{rot}\mathbf{V}$  — завихренность,  $n$  — плотность газа.

На рис. 3 приведены результаты расчетов поперечных размеров пучка на основе численного решения системы уравнений (16)–(19). Были выбраны следующие значения параметров:  $\alpha = 3\pi/8, \omega_0 = 0, h/(\omega_c a_s)^2 = 0.05, a_0 = b_0 = a_s$ , где  $a_s$  — равновесный радиус бриллюэновского потока, распространяющегося вдоль магнитного поля с напряженностью  $B_0 \cos \alpha$ . Этот радиус определялся из соотношения  $w^2/4a_s = h/2a_s + H/a_s^3$ , поскольку, как видно из выражения (20), для спирального пучка "эффективная" ларморовская частота равна  $w/2$ . Нижние кривые соответствуют  $a/a_s$ , верхние —  $b/a_s$ ; переменная  $T = \omega_c t$ . Расчеты проводились для двух

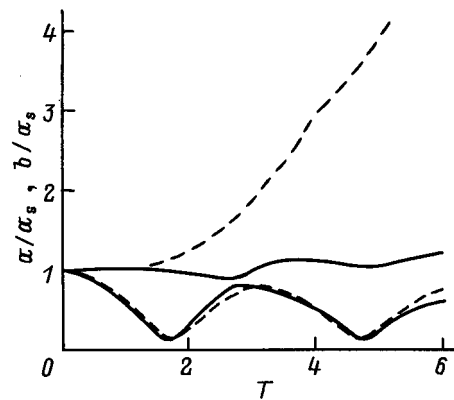


Рис. 3. Изменение поперечных размеров пучка.

начальных значений угловой скорости вращения пучка:  $\Omega_0 = 0$  (штриховые кривые) и  $\Omega_0 = -w/2$  (сплошные кривые). Полученные результаты показывают, что при инжекции под углом к магнитному полю вращающегося пучка уменьшается расплывание пучка под влиянием пространственного заряда.

## Список литературы

- [1] *Karchinsky I.M., Vladimirovsky V.V.* Proc. 1959 Intern. Conf. on High Energy Accelerators and Instrumentations. CERN, Geneva. P. 274.
- [2] *Ярковой О.И.* // ЖТФ. 1966. Т. 36. Вып. 6. С. 988–996.
- [3] *Lee E.P.* // Phys. Fluids. 1976. Vol. 19. N 1. P. 60–69.
- [4] *Lee E.P., Cooper R.K.* // Part. Accel. 1976. Vol. 7. P. 83–95.
- [5] *Наумов Н.Д.* // Физика плазмы. 1993. Т. 19. Вып. 11. С. 1406–1408.
- [6] *Наумов Н.Д.* // ЖТФ. 1997. Т. 67. Вып. 7. С. 103–107.
- [7] *Лизунов Г.В., Силивра А.А.* // Геомагнетизм и аэронавигация. 1988. Т. 28. Вып. 6. С. 980–984.
- [8] *Лоусон Дж.* Физика пучков заряженных частиц. М.: Мир, 1980.
- [9] *Саранцев В.П., Перельштейн Э.А.* Коллективное ускорение ионов электронными кольцами. М.: Атомиздат, 1979.